

SISTEMAS E SINAIS - EXERCÍCIO IV

SÉRGIO CORDEIRO

1. Obter modelo no tempo para os sistemas:

a)

$$e(t) = 10 \mathbf{u}(t)$$

$$y(t) = 6 + 9.22e^{-t} \cos(2t - 130.6^\circ)$$

$$t \geq 0$$

b)

$$e(t) = 3e^{-5t} \mathbf{u}(t)$$

$$y(t) = -2e^{-5t} - e^{-2t} + 3e^{-3t}$$

$$t \geq 0$$

a)

$$y(t) = y_h(t) + y_p(t) \implies y_h(t) = 9.22e^{-t} \cos(2t - 130.6^\circ)$$

$$y_p(t) = 6$$

$$\lambda = -1 \pm j2 \implies \lambda_1 \lambda_2 = (-1 - j2)(-1 + j2)$$

$$= (-1)^2 - (j2)^2$$

$$= 5$$

$$-(\lambda_1 + \lambda_2) = (-1 - j2) + (-1 + j2)$$

$$= 2$$

$$\therefore \frac{d^2 y_h}{dt^2} + 2 \frac{dy_h}{dt} + 5 y_h = 0$$

$$\frac{d^2 y_p}{dt^2} + 2 \frac{dy_p}{dt} + 5y_p = \mathbf{B}e(t) \implies 5 \cdot 6 = 10\mathbf{B}$$

$$\therefore \mathbf{B} = 3$$

$$y(0) = 6 + 9.22e^0 \cos(0 - 130.6^\circ)$$

$$= 0$$

$$\frac{dy}{dt} = 9.22 \left[-e^{-t} \cos(2t - 130.6^\circ) - 2e^{-t} \sin(2t - 130.6^\circ) \right]$$

$$= -9.22e^{-t} \left[\cos(2t - 130.6^\circ) + 2 \sin(2t - 130.6^\circ) \right]$$

$$\left. \frac{dy}{dt} \right|_{t=0} = -9.22e^0 \left[\cos(0 - 130.6^\circ) + 2 \sin(0 - 130.6^\circ) \right]$$

$$= 20$$

O modelo completo, portanto, é:

$$\frac{d^2 y}{dt^2} + 2 \frac{dy}{dt} + 5y = 3e$$

$$y(0) = 0 \quad \left. \frac{dy}{dt} \right|_{t=0} = 20$$

b)

$$y(t) = y_h(t) + y_p(t) \implies y_h(t) = -e^{-2t} + 3e^{-3t}$$

$$y_p(t) = -2e^{-5t}$$

$$\begin{aligned}
 \lambda = \{-3, -2\} &\implies \lambda_1 \lambda_2 = -3 \cdot -2 \\
 &= 6 \\
 -(\lambda_1 + \lambda_2) &= -(-2 - 3) \\
 &= 5 \\
 \therefore \frac{d^2 y_h}{dt^2} + 5 \frac{dy_h}{dt} + 6 y_h &= 0
 \end{aligned}$$

$$\begin{aligned}
 \frac{d^2 y_p}{dt^2} + 5 \frac{dy_p}{dt} + 6 y_p = \mathbf{B}e(t) &\implies -50e^{-5t} + 5 \cdot 10e^{-5t} + 6 \cdot -2e^{-5t} = 3\mathbf{B}e^{-5t} \\
 \therefore \mathbf{B} &= -4
 \end{aligned}$$

$$\begin{aligned}
 y(0) &= -e^0 + 3e^0 - 2e^0 \\
 &= 0 \\
 \frac{dy}{dt} &= 2e^{-2t} - 9e^{-3t} + 10e^{-5t} \\
 \left. \frac{dy}{dt} \right|_{t=0} &= 2e^0 - 9e^0 + 10e^0 \\
 &= 3
 \end{aligned}$$

O modelo completo, portanto, é:

$$\begin{aligned}
 \frac{d^2 y}{dt^2} + 5 \frac{dy}{dt} + 6 y &= -4e \\
 y(0) = 0 \quad \left. \frac{dy}{dt} \right|_{t=0} &= 3
 \end{aligned}$$

2. Dado $h(t) = 1.3969e^{-1.364t} - 1.3969e^{-58.63t}$, e $t \geq 0$, obter R , L e C para circuito RLC e saída v_c .

$$\lambda = \{-58.63, -1.364\} \implies \lambda_1 \lambda_2 = (-58.63)(-1.364)$$

$$= 80$$

$$-(\lambda_1 + \lambda_2) = -(-58.63 - 1.364)$$

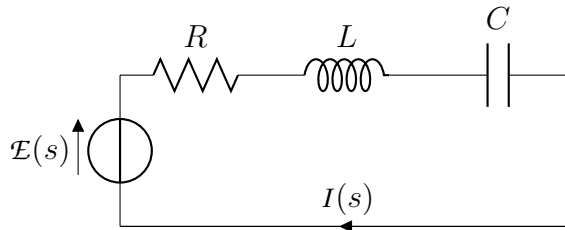
$$= 60$$

$$\therefore \frac{d^2 y}{dt^2} + 60 \frac{dy}{dt} + 80y = e$$

No domínio da frequência complexa:

$$\mathcal{Y}(s) = \frac{\mathcal{E}(s)}{s^2 + 60s + 80}$$

O circuito modelo é o seguinte:



$$\begin{aligned} \mathcal{V}_c(s) &= \frac{1}{Cs} I(s) \\ &= \frac{1}{Cs} \frac{\mathcal{E}(s)}{R + Ls + \frac{1}{Cs}} \\ &= \frac{\mathcal{E}(s)}{LCs^2 + RCs + 1} \\ &= \frac{\mathcal{E}(s)}{s^2 + \frac{R}{L}s + \frac{1}{LC}} \end{aligned}$$

Portanto:

$$\frac{1}{LC} = 80 \quad \text{e} \quad \frac{R}{L} = 60$$

Para $C = 100 \mu F$, teremos

$$L = \frac{1}{80C}$$

$$= \frac{1}{80 \times 100 \times 10^{-6}}$$

$$= 125 H$$

$$R = 60L$$

$$= 60 \times 125$$

$$= 7.5 k\Omega$$

3. Para $\mathcal{G}(s) = \frac{1}{(s+1)^3}$, aproximar para modelo de primeira ordem e discutir validade da aproximação.

A transformada inversa exata é $g(t) = t^2 e^{-t}$. Uma aproximação de primeira ordem estaria na forma $g_a(t) = e^{-at}$. Evidentemente, para t pequeno, $g_a(t)$ é uma má aproximação; para t grande, $g_a(t)$ coincide com $g(t)$ para $a = -1$.

Analisando no domínio da frequência real, para f baixo, a aproximação é boa; para f acima da frequência de corte, a amplitude cai e o ângulo de fase cresce muito mais devagar em \hat{g}_a do que em \hat{g} .

4. Modelar na frequência $\mathcal{G}(s) = \frac{80}{s^2 + 60s + 80}$, graficamente e por meio de equações. Simular com entrada *chirp* e indicar como obter resposta em frequência a partir de simulação.

Como visto no problema 2, $\lambda = \{-58.63, -1.364\}$. O sistema é de segunda ordem sobreamortecido. Um dos polos é claramente dominante, por isso o sistema também poderia ser aproximado razoavelmente bem por um de primeira ordem.

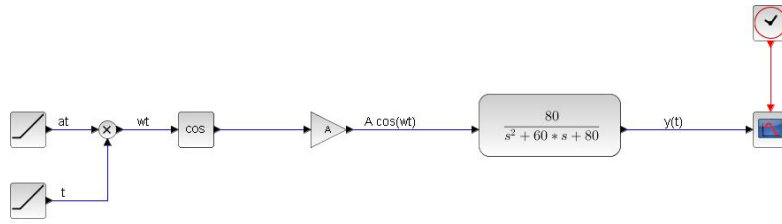
Alternativamente, poderíamos obter a resposta em frequência por meio da Transformada de Fourier:

$$\begin{aligned}
 \hat{\mathcal{G}}(\omega) &= \mathcal{G}(s)|_{s=j\omega} \\
 &= \frac{80}{(j\omega)^2 + 60(j\omega) + 80} \\
 &= \frac{80}{80 - \omega^2 + j60\omega} \\
 &= \frac{1}{1 - \left(\frac{\omega}{\omega_c}\right)^2 + j\frac{60}{\omega_c} \frac{\omega}{\omega_c}} \quad \boxed{\omega_c^2 = 80} \\
 &= \frac{1}{1 - \omega_r^2 + j3\sqrt{5}\omega_r} \quad \boxed{\omega_r = \frac{\omega}{\omega_c}}
 \end{aligned}$$

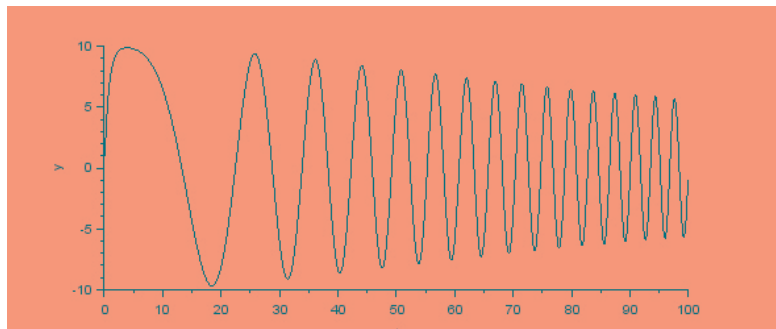
Em coordenadas polares:

$$\begin{aligned}
 |\hat{\mathcal{G}}(\omega)| &= \frac{1}{\sqrt{(1 - \omega_r^2)^2 + (3\sqrt{5}\omega_r)^2}} \\
 &= \frac{1}{\sqrt{1 - 2\omega_r^2 + \omega_r^4 + 45\omega_r^2}} \\
 &= \frac{1}{\sqrt{1 + 43\omega_r^2 + \omega_r^4}} \\
 \arg\{\hat{\mathcal{G}}(\omega)\} &= -\arg\{1 - \omega_r^2 + j3\sqrt{5}\omega_r\} \\
 &= \text{atan}\left(\frac{3\sqrt{5}\omega_r}{\omega_r^2 - 1}\right)
 \end{aligned}$$

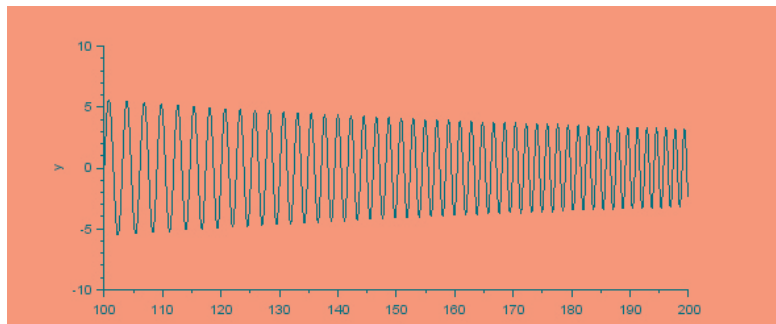
O diagrama de simulação correspondente é mostrado abaixo:



O sinal de entrada é da forma $e(t) = A \cos(\omega t)$, com $\omega = at$, $a \in \mathbb{R}$. Ou seja, a frequência cresce linearmente com o tempo. A saída simulada é um sinal idêntico à entrada, apenas com a amplitude variando de acordo com a frequência. Os gráficos seguintes ilustram esse fenômeno. Os parâmetros usados foram $A = 10$ e $a = 0.01$.



$$0 \leq t \leq 100 \text{ s}$$



$$100 \leq t \leq 200 \text{ s}$$

A aplicação do sinal de frequência variável permite o levantamento da resposta em frequência do circuito, contanto que a não seja muito grande.

5. Discutir como podemos obter resposta em frequência de modo experimental.

A resposta em frequência de um sistema linear é a Transformada de Fourier de sua resposta ao impulso $h(t)$. Assim, ocorrem naturalmente ao pensamento duas formas de levantá-la experimentalmente:

1. Aplicar um impulso ao sistema, medir $h(t)$ e calcular sua Transformada de Fourier
2. Aplicar entradas senoidais de frequências diversas e medir a resposta do sistema em termos de amplitude e ângulo de fase.

O primeiro método tem a vantagem de ser mais rápido, envolvendo apenas um ensaio experimental, seguido da aplicação, por exemplo, da FFT ao resultado. As dificuldades são duas: primeiro, que o sistema pode apresentar instabilidade quando submetido a uma entrada impulsiva, levando a uma resposta com suporte infinito no tempo, ao qual não é possível aplicar a transformada; segundo, que o número de amostras e a frequência de amostragem escolhidos limitarão a resolução do resultado. Além disso, para frequências muito altas, a atenuação será muito grande, o que prejudica a precisão do ensaio. O segundo método não possui essas desvantagens, mas o tempo de levantamento será maior. Pode-se, como feito no problema anterior, aplicar um sinal cuja frequência varie lentamente para levantar a resposta do sistema.

6. Para x_1 com tamanho N e x_2 com tamanho M , qual é o tamanho da convolução $x_1 * x_2$?

A convolução funciona como uma amostragem da primeira sequência feita pela segunda, que é invertida e deslocada no tempo. Para que a convolução dê um resultado não nulo, é preciso que haja pelo menos uma amostra comum a x_1 e x_2 . Assim, o comprimento será $M+N-1$ amostras.

7. Para

a) $y[n] = \sum_{k=-\infty}^n e[k]$

b) $y[n] = e[n] - e[n-1]$

Achar $h[n]$ tal que $y[n] = h[n] * e[n]$.

a)

$$\begin{aligned} y[n] &= \sum_{k=-\infty}^n x[k] \\ &= \sum_{k=-\infty}^n 1 \cdot x[k] \\ &= \sum_{k=-\infty}^n h[k-n] \cdot x[k] & \boxed{h[n] = \mathbf{u}[n]} \\ &= h[n] * x[n] \end{aligned}$$

b)

$$\begin{aligned} y[n] &= x[n] - x[n-1] \\ &= \sum_{k=0}^0 x[n-k] - \sum_{k=1}^1 x[n-k] \\ &= \sum_{k=0}^n \mathbf{u}[n-k] x[n-k] - \sum_{k=0}^n \mathbf{u}[n-k+1] x[n-k] \\ &= \sum_{k=0}^n \mathbf{u}[n-k] x[n-k] - \mathbf{u}[n-k+1] x[n-k] \\ &= (\mathbf{u}[0] + \mathbf{u}[1]) * x[n] \end{aligned}$$

Simulação realizada com **Scilab** 5.5.2:

<https://www.scilab.org>

Texto formatado com **pdflatex** em ambiente **MiKTeX** 2.9:

<http://miktex.org/download/>